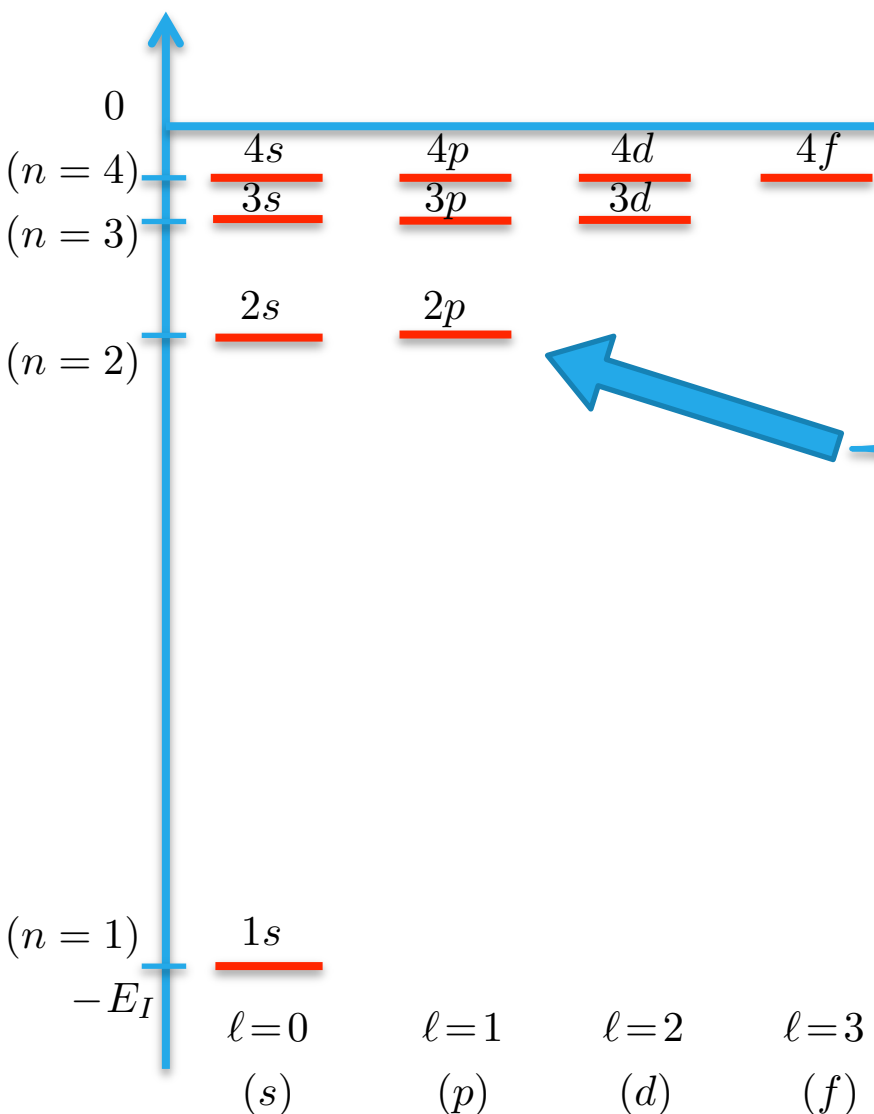


# Estrutura fina do nível $n=2$ do Átomo de Hidrogênio.



- $E_{k,\ell} = -\frac{E_I}{(k + \ell)^2} = -\frac{E_I}{n^2} = E_n$ ;
- A degenerescência orbital total é  $g_n = n^2 \rightarrow g_2 = 4$ ;
- Os spins do elétron e próton ampliam a degenerescência para  $g_2^{S,I} = g_2 * 2 * 2 = 16$ ;
- Cinco números quânticos ( $n, \ell, m_L, m_S, m_I$ ) especificam o autoket  $|n, \ell, m_L, S, m_S, I, m_I\rangle$  simultâneo do CCOC:  $H, \mathbf{L}^2, L_z, \mathbf{S}^2, S_z, \mathbf{I}^2, I_z$ .
- Nosso problema se reduz a diagonalizar uma matriz  $16 \times 16$ .

Fig. 4, cap. 7 do texto

# Dimensão do problema

- O nível 2 do átomo de Hidrogênio

$$n = 2, E_2 = -\frac{1}{8} \frac{e^2}{a_0} \begin{cases} 2s \rightarrow \ell = 0, m_L = 0, m_S = \pm \frac{1}{2}, m_I = \pm \frac{1}{2} \\ 2p \rightarrow \ell = 1, m_L = -1, 0, 1, m_S = \pm \frac{1}{2}, m_I = \pm \frac{1}{2} \end{cases}$$

- Na estrutura fina introduziríamos apenas o spin do elétron e a matriz seria  $8 \times 8$ :

$$\begin{array}{c}
 m_S = +\frac{1}{2} \quad \quad \quad m_S = -\frac{1}{2} \\
 \overbrace{\quad \quad \quad \quad}^{2s} \quad \overbrace{\quad \quad \quad \quad}^{2p_{-1}} \quad \overbrace{\quad \quad \quad \quad}^{2p_0} \quad \overbrace{\quad \quad \quad \quad}^{2p_{+1}} \quad \overbrace{\quad \quad \quad \quad}^{2s} \quad \overbrace{\quad \quad \quad \quad}^{2p_{-1}} \quad \overbrace{\quad \quad \quad \quad}^{2p_0} \quad \overbrace{\quad \quad \quad \quad}^{2p_{+1}} \\
 \begin{array}{ccccccccc}
 2s, m_S = +1/2 & W_{11} & W_{12} & W_{13} & W_{14} & W_{15} & W_{16} & W_{17} & W_{18} \\
 2p_{-1}, m_S = +1/2 & W_{21} & W_{22} & W_{23} & W_{24} & W_{25} & W_{26} & W_{27} & W_{28} \\
 2p_0, m_S = +1/2 & W_{31} & W_{32} & W_{33} & W_{34} & W_{35} & W_{36} & W_{37} & W_{38} \\
 2p_{+1}, m_S = +1/2 & W_{41} & W_{42} & W_{43} & W_{44} & W_{45} & W_{46} & W_{47} & W_{48} \\
 2s, m_S = -1/2 & W_{51} & W_{52} & W_{53} & W_{54} & W_{55} & W_{56} & W_{57} & W_{58} \\
 2p_{-1}, m_S = -1/2 & W_{61} & W_{62} & W_{63} & W_{64} & W_{65} & W_{66} & W_{67} & W_{68} \\
 2p_0, m_S = -1/2 & W_{71} & W_{72} & W_{73} & W_{74} & W_{75} & W_{76} & W_{77} & W_{78} \\
 2p_{+1}, m_S = -1/2 & W_{81} & W_{82} & W_{83} & W_{84} & W_{85} & W_{86} & W_{87} & W_{88}
 \end{array}
 \end{array}$$

- Mesmo para esse caso, a matriz é grande. Entretanto, muitos dos elementos de matriz serão zero por simetria e a matriz será bloco diagonal.

# Estrutura fina do nível n=2 do Átomo de Hidrogênio.

- A Hamiltoniana do átomo de hidrogênio foi escrita por  $H = H_0 + W$ , com  $W = W_f + W_{hf}$  e  $W_f$  cerca de 2000 mais forte que  $W_{hf}$ . Assim, faz sentido, ignorar nesse momento a estrutura hiper-fina e estudar a influência apenas da estrutura fina. É bastante comum incluir os efeitos da estrutura hiper-fina sobre os da estrutura fina (perturbação da perturbação).
- Na aula que vem, estudaremos a quebra de degenerescência no nível 1 do átomo de hidrogênio devido à estrutura hiper-fina,  $W_{hf}$ .
- Na aula passada, escrevemos os termos de estrutura fina por:

$$H = \underbrace{\frac{\mathbf{P}^2}{2m_e}}_{H_0} + V(R) - \underbrace{\frac{\mathbf{P}^4}{8m_e^3 c^2}}_{W_{mv}} + \underbrace{\frac{1}{2m_e^2 c^2} \frac{1}{R} \frac{dV(R)}{dR} \mathbf{L} \cdot \mathbf{S}}_{W_{SO}} + \underbrace{\frac{\hbar^2}{8m_e^2 c^2} \Delta V(R)}_{W_D}$$

termos de estrutura fina

- Veremos que a degenerescência ( $g_2 = 8$ ) do nível n=2 de  $H_0$  (matriz diagonal  $8 \times 8$ ) será parcialmente removida por  $W_f$  (representada pela matriz do slide 2).
- Lembre que a diagonalização de  $W_f$  fornece correção em primeira ordem em energia e de ordem zero nos kets.

# Estrutura fina do nível n=2 do Átomo de Hidrogênio.

- $W_f$  não acopla 2s com 2p. Para mostrar isso basta notar que os operadores envolvidos respeitam:  $[\mathbf{L}^2, W_f] = 0$ .

Isso é decorrente de  $\begin{cases} [\mathbf{L}^2, \mathbf{P}^2] = 0 \\ [\mathbf{L}^2, f(R)] = 0 \\ [\mathbf{L}^2, \mathbf{L.S}] = 0 \end{cases}$  e  $\begin{cases} \langle 2s | [\mathbf{L}^2, O] | 2p \rangle = 0 \\ \text{com} \\ O = \mathbf{P}^2, f(R), \text{ ou } \mathbf{L.S} \end{cases}$

Como os autovalores de  $\mathbf{L}^2$  aplicado em  $|2s\rangle$  e  $|2p\rangle$  são distintos conclui-se que  $\langle 2s | O | 2p \rangle = 0$  e  $\therefore \langle 2s | W_f | 2p \rangle = 0$ .

- Desta forma, a matriz,  $8 \times 8$  do slide 2 fica:

$$\begin{array}{c}
 m_S = +\frac{1}{2} \qquad \qquad \qquad m_S = -\frac{1}{2} \\
 \overbrace{\qquad\qquad\qquad}^{2s} \overbrace{\qquad\qquad\qquad}^{2p_{-1}} \overbrace{\qquad\qquad\qquad}^{2p_0} \overbrace{\qquad\qquad\qquad}^{2p_{+1}} \quad \overbrace{\qquad\qquad\qquad}^{2s} \overbrace{\qquad\qquad\qquad}^{2p_{-1}} \overbrace{\qquad\qquad\qquad}^{2p_0} \overbrace{\qquad\qquad\qquad}^{2p_{+1}}
 \end{array}$$

$2s, m_S = +1/2$	$W_{11}$	0	0	0	$W_{15}$	0	0	0
$2p_{-1}, m_S = +1/2$	0	$W_{22}$	$W_{23}$	$W_{24}$	0	$W_{26}$	$W_{27}$	$W_{28}$
$2p_0, m_S = +1/2$	0	$W_{32}$	$W_{33}$	$W_{34}$	0	$W_{36}$	$W_{37}$	$W_{38}$
$2p_{+1}, m_S = +1/2$	0	$W_{42}$	$W_{43}$	$W_{44}$	0	$W_{46}$	$W_{47}$	$W_{48}$
$2s, m_S = -1/2$	$W_{51}$	0	0	0	$W_{55}$	0	0	0
$2p_{-1}, m_S = -1/2$	0	$W_{62}$	$W_{63}$	$W_{64}$	0	$W_{66}$	$W_{67}$	$W_{68}$
$2p_0, m_S = -1/2$	0	$W_{72}$	$W_{73}$	$W_{74}$	0	$W_{76}$	$W_{77}$	$W_{78}$
$2p_{+1}, m_S = -1/2$	0	$W_{82}$	$W_{83}$	$W_{84}$	0	$W_{86}$	$W_{87}$	$W_{88}$

# Estrutura fina do nível n=2 do Átomo de Hidrogênio.

- Note que o não acoplamento entre 2s e 2p pode ser deduzido partir

de  $\begin{cases} 2s \text{ é par} \\ 2p \text{ é ímpar} \end{cases}$

e  $W_f$  é par, pois na inversão

$$\begin{cases} \mathbf{R} \rightarrow -\mathbf{R} \\ \mathbf{P} \rightarrow -\mathbf{P} \\ \mathbf{L} \rightarrow \mathbf{L} \\ \mathbf{S} \rightarrow \mathbf{S} \end{cases}$$

- No nosso livro texto a matriz  $W_f$  é organizada na forma (bloco-diagonal)

$$\begin{array}{cccccccc}
 & 2s\uparrow & 2s\downarrow & 2p_{-1}\uparrow & 2p_0\uparrow & 2p_{+1}\uparrow & 2p_{-1}\downarrow & 2p_0\downarrow & 2p_{+1}\downarrow \\
 \begin{matrix} 2s \\ 2s \\ 2p_{-1} \\ 2p_0 \\ 2p_{+1} \\ 2p_{-1} \\ 2p_0 \\ 2p_{+1} \end{matrix} & \left( \begin{array}{cccccccc}
 W_{11} & W_{12} & 0 & 0 & 0 & 0 & 0 & 0 \\
 W_{21} & W_{22} & 0 & 0 & 0 & 0 & 0 & 0 \\
 0 & 0 & W_{33} & W_{34} & W_{35} & W_{36} & W_{37} & W_{38} \\
 0 & 0 & W_{43} & W_{44} & W_{45} & W_{46} & W_{47} & W_{48} \\
 0 & 0 & W_{53} & W_{54} & W_{55} & W_{56} & W_{57} & W_{58} \\
 0 & 0 & W_{63} & W_{64} & W_{65} & W_{66} & W_{67} & W_{68} \\
 0 & 0 & W_{73} & W_{74} & W_{75} & W_{76} & W_{77} & W_{78} \\
 0 & 0 & W_{83} & W_{84} & W_{85} & W_{86} & W_{87} & W_{88}
 \end{array} \right)
 \end{array}$$

- Assim, podemos separar o problema, calculando os elementos de matrizes envolvendo só o nível 2s, matriz  $2 \times 2$  e só o nível 2p, matriz  $6 \times 6$ , já que  $W_f$  é bloco-diagonal nessa base.

## Estrutura fina do nível n=2s do Átomo de Hidrogênio.

- A representação matricial de  $W_f$  na subcamada 2s, exige cálculo de integrais e o reconhecimento dos termos não-acopláveis por spin. Em especial, nota-se que  $W_{mv}$  e  $W_D$  não dependem do operador de spin. Portanto, é claro que  $\langle 2s \uparrow | W_{mv} | 2s \downarrow \rangle = \langle 2s \downarrow | W_{mv} | 2s \uparrow \rangle = \langle 2s \uparrow | W_D | 2s \downarrow \rangle = \langle 2s \downarrow | W_D | 2s \uparrow \rangle = 0$
  - O problema se reduz ao cálculo de  $\begin{cases} \langle 2s \uparrow | W_{mv} | 2s \uparrow \rangle = \langle 2s \downarrow | W_{mv} | 2s \downarrow \rangle \\ \langle 2s \uparrow | W_D | 2s \uparrow \rangle = \langle 2s \downarrow | W_D | 2s \downarrow \rangle \end{cases}$
  - Reescritas por  $\begin{cases} \langle W_{mv} \rangle_{2s} = \langle n=2; \ell=0; m_L=0 | -\frac{\mathbf{P}^4}{8m_e^3c^2} | n=2; \ell=0; m_L=0 \rangle \\ \langle W_D \rangle_{2s} = \langle n=2; \ell=0; m_L=0 | \frac{\hbar^2 q}{8m_e^2c^2} \Delta V(R) | n=2; \ell=0; m_L=0 \rangle \end{cases}$
- e, por sua vez, escrita na forma de integrais exclusivamente radiais, pois  $Y_0^0(\theta, \varphi) = \frac{1}{\sqrt{4\pi}}$ . O complemento B<sub>XII</sub> indica como fazer essas integrais.
- Aqui apresentamos apenas os resultados:  $\begin{cases} \langle W_{mv} \rangle_{2s} = -\frac{13}{128} m_e c^2 \alpha^4 \\ \langle W_D \rangle_{2s} = \frac{1}{16} m_e c^2 \alpha^4 \end{cases}$
- Não deixe de deduzir em casa. Note que  $\langle 2s\uparrow\downarrow | W_{SO} | 2s\uparrow\downarrow \rangle = 0$ , pois  $\ell=0$ .*
- O efeito (sobre os níveis 2s) da estrutura fina é deslocar de  $\frac{5}{128} m_e c^2 \alpha^4$ .

# Estrutura fina do nível n=2p do Átomo de Hidrogênio.

- A representação matricial de  $W_f$  na subcamada 2p, exige cálculo de integrais e o reconhecimento dos termos não-acopláveis por spin. Em especial, nota-se que  $\langle 2p \uparrow | W_{mv} | 2p \downarrow \rangle = \langle 2p \downarrow | W_{mv} | 2p \uparrow \rangle = \langle 2p \uparrow | W_D | 2p \downarrow \rangle = \langle 2p \downarrow | W_D | 2p \uparrow \rangle = 0$

$$\begin{cases} \langle 2p \uparrow | W_{mv} | 2p \uparrow \rangle = \langle 2p \downarrow | W_{mv} | 2p \downarrow \rangle \\ \langle 2p \uparrow | W_D | 2p \uparrow \rangle = \langle 2p \downarrow | W_D | 2p \downarrow \rangle \end{cases}$$

- O problema se reduz ao cálculo de
- Reescritas por

$$\begin{cases} \langle W_{mv} \rangle_{2p} = \langle n=2; \ell=1; m_L | -\frac{\mathbf{P}^4}{8m_e^3c^2} | n=2; \ell=1; m'_L \rangle \\ \text{nos dois casos, } m_L = 0, \pm 1 \text{ e } m'_L = 0, \pm 1 \\ \langle W_D \rangle_{2p} = \langle n=2; \ell=1; m_L | \frac{\hbar^2 q}{8m_e^2 c^2} \Delta V(R) | n=2; \ell=1; m'_L \rangle \end{cases}$$

- Como  $[L_z, W_{mv}] = [L_z, W_D] = 0$

$$\begin{cases} \langle W_{mv} \rangle_{2p} \propto \delta_{m_L, m'_L} \\ \langle W_D \rangle_{2p} \propto \delta_{m_L, m'_L} \end{cases}$$

O complemento B<sub>XII</sub> indica, novamente, como fazer essas integrais (basta  $m_L = 0$ ).

Aqui apresentamos os resultados:

$$\begin{cases} \langle W_{mv} \rangle_{2p} = -\frac{7}{384} m_e c^2 \alpha^4 \\ \langle W_D \rangle_{2p} = 0 \text{ (devido ao } \delta(R)) \end{cases}$$

*lembre que  $\lim_{r \rightarrow 0} R_{n,\ell=1}(r) \propto r^\ell = 0$ .*

## Estrutura fina do nível n=2 do Átomo de Hidrogênio.

- E o termo  $W_{SO}$ ? Precisamos calcular os vários elementos de matriz do tipo:  
 $\langle W_{SO} \rangle_{2p}(m_L, m'_L, m_S, m'_S) = \langle n=2; \ell=1; m_L; m_S | \xi(R) \mathbf{L} \cdot \mathbf{S} | n=2; \ell=1; m'_L; m'_S \rangle$   
 onde  $\begin{cases} m_L \text{ e } m'_L = \pm 1, 0 \rightarrow \text{associados ao momento angular orbital } L_z; \\ m_S \text{ e } m'_S = \pm 1/2 \rightarrow \text{associados ao momento angular spin } S_z; \\ \xi(R) = \frac{e^2}{2m_e^2 c^2} \frac{1}{R^3} \rightarrow \text{Operador radial (não depende de } \theta \text{ e } \varphi\text{).} \end{cases}$
- Na representação das coordenadas podemos separar a parte radial do elemento de matriz acima das partes de spin e de momento angular orbital. Ficaria assim:  
 $\xi_{2p} \langle n=2; \ell=1; m_L; m_S | \mathbf{L} \cdot \mathbf{S} | n=2; \ell=1; m'_L; m'_S \rangle$  onde  $\xi_{2p}$  é um número obtido pela integral (ver B<sub>XII</sub>):  $\xi_{2p} = \frac{e^2}{2m_e^2 c^2} \int_0^\infty \frac{1}{r^3} |R_{21}(r)|^2 r^2 dr = \frac{1}{48\hbar^2} m_e c^2 \alpha^4$ .
- Tendo resolvido a parte radial, nosso problema passa ser diagonalizar  $\mathbf{L} \cdot \mathbf{S}$  na base  $\{| \ell; S; m_L; m_S \rangle\}$ , autokets de  $\mathbf{L}^2, \mathbf{S}^2, L_z$  e  $S_z$ , para o caso  $\ell=1$  e  $S=1/2$ .
- No capítulo 9, aprendemos uma outra base que descreve esse sub-espacô de dimensão  $(2 * 1 + 1) * (2 * 1/2 + 1) = 6$ . É a de autokets de  $\mathbf{L}^2, \mathbf{S}^2, \mathbf{J}^2$ , e  $J_z$ , dada por  $\{| \ell; S; J; m_J \rangle$ , com  $|\ell - S| \leq J \leq \ell + S\}$ . No caso,  $J = 1/2$  ou  $3/2$ . Note que a dimensão deste sub-espacô é igual à:  $2 * 1/2 + 1 + 2 * 3/2 + 1 = 6$ .
- Aprendemos a ir de uma base para outra (coeficientes de Clebsch-Gordan, ver complemento A<sub>X</sub>). Por que isso é interessante?

# Estrutura fina do nível n=2p do Átomo de Hidrogênio.

- A segunda base é melhor. Porque? Por já ser diagonal uma vez que

$$\mathbf{J}^2 = (\mathbf{L} + \mathbf{S})^2 = \mathbf{L}^2 + \mathbf{S}^2 + 2\mathbf{L} \cdot \mathbf{S} \text{ e } \therefore \mathbf{L} \cdot \mathbf{S} = \frac{\mathbf{J}^2 - \mathbf{L}^2 - \mathbf{S}^2}{2} \text{ operadores que definem a base junto com } J_z.$$

- Ou seja, o operador spin-orbita  $W_{SO} = \xi_{2p}\mathbf{L} \cdot \mathbf{S} = \frac{1}{2}\xi_{2p}(\mathbf{J}^2 - \mathbf{L}^2 - \mathbf{S}^2)$  é diagonal na base  $\{|\ell; S; J; m_J\rangle, J = 1/2 \text{ ou } 3/2\}$ , isto é

$$\xi_{2p}\mathbf{L} \cdot \mathbf{S}|\ell; S; J; m_J\rangle = \frac{1}{2}\xi_{2p}[J(J+1) - 1(1+1) - 1/2(1/2+1)]\hbar^2|\ell; S; J; m_J\rangle$$

$$\therefore \begin{cases} |\ell=1; S=1/2; J=1/2; m_J\rangle \text{ auto-estados de } \xi_{2p}\mathbf{L} \cdot \mathbf{S} \text{ com auto-valor } -\xi_{2p}\hbar^2 \\ |\ell=1; S=1/2; J=3/2; m_J\rangle \text{ auto-estados de } \xi_{2p}\mathbf{L} \cdot \mathbf{S} \text{ com auto-valor } +\frac{1}{2}\xi_{2p}\hbar^2 \end{cases}$$

- A degenerescência entre  $J$ 's é quebrada, embora a degenerescência entre  $m'_J$ s de mesmo  $J$  continue mantida (os auto-valores não dependem de  $m_J$ ).
- Assim, a degenerescência  $g_{2p} = 6$  do nível  $2p$  é quebrada de forma que dois níveis com  $J=1/2$  descem em  $-\xi_{2p}\hbar^2$  e quatro níveis com  $J=3/2$ , sobem em  $+\frac{1}{2}\xi_{2p}\hbar^2$ .

A degenerescência de cada  $J$  é  $2J+1, \therefore \begin{cases} J=1/2 \rightarrow 2 \times 1/2 + 1 = 2 \\ J=3/2 \rightarrow 2 \times 3/2 + 1 = 4 \end{cases}$

# Estrutura fina do nível n=2 do Átomo de Hidrogênio.

- As degenerescências dos níveis  $J = 1/2$  e  $J = 3/2$  são essenciais, pois  $W_f$  é invariante mediante rotação (ver aula 7, onde discutimos que o operador que roda kets ao redor de  $\mathbf{n}$  em  $\varphi$  é do tipo:  $e^{\frac{i\mathbf{J}\cdot\mathbf{n}\varphi}{\hbar}}$ ).
- Comentários finais sobre a estrutura fina do nível n=2:
  - No nível 2s ( $\ell = 0, S = 1/2$ ),  $J$  assume um único valor  $J = 1/2$ .
  - Se  $W_{mv}$  e  $W_D$  eram matrizes unidades no espaço  $\{|\ell; S; m_L; m_S\rangle\}$ , por não causarem acoplamento no espaço de momento angular. Consequentemente, qualquer transformação unitária da matriz unidade é uma matriz unidade, ou seja na representação  $\{|\ell; S; J; m_J\rangle\}$  também não há acoplamento.

- Notação espectroscópica:  $n\ell_J$   $\left\{ \begin{array}{l} n \rightarrow \text{número quântico principal;} \\ \ell \rightarrow \text{momento angular orbital;} \\ J \rightarrow \text{momento angular total;} \\ s=1/2 \rightarrow \text{momento angular spin (não consta,} \\ \text{pois é igual para todos).} \end{array} \right.$

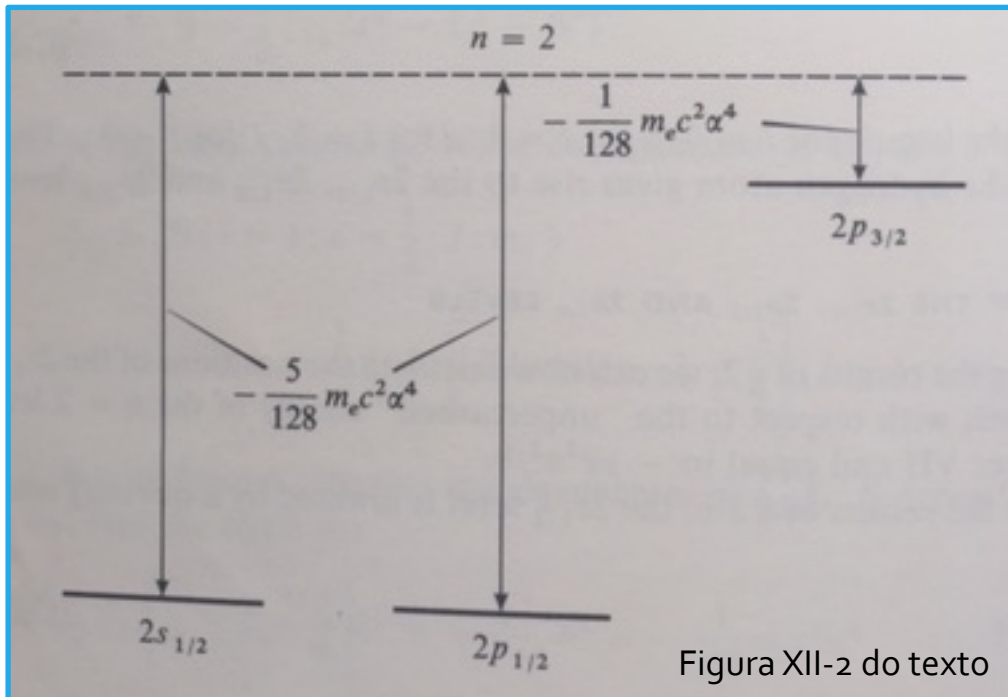
- É usual  $\left\{ \begin{array}{l} \ell = 0 \rightarrow s \\ \ell = 1 \rightarrow p \\ \ell = 2 \rightarrow d \\ \ell = 3 \rightarrow f, \text{etc.} \end{array} \right.$

No caso  $\left\{ \begin{array}{l} 2s_{1/2} \rightarrow -5/128m_e c^2 \alpha^4 \\ 2p_{1/2} \rightarrow -5/128m_e c^2 \alpha^4 \\ 2p_{3/2} \rightarrow -1/128m_e c^2 \alpha^4 \end{array} \right.$

$\rightarrow (-7/384 - 1/48)$   
 $\downarrow$   
 $\rightarrow (-7/384 + 1/96)$

## Estrutura fina do nível n=2 do Átomo de Hidrogênio.

- No final das contas  $2s_{1/2}$  e  $2p_{1/2}$  continuam degenerados.
- Só  $W_{SO}$  é responsável pela separação  $2p_{1/2}$  e  $2p_{3/2}$ .
- Resultados verificáveis experimentalmente. Ex.: fótons de Lyman ( $\lambda = 1216\text{\AA}$ ). Estes fótons são da transição  $2p \rightarrow 1s$ . Olhar atento mostra  $2p_{1/2} \rightarrow 1s_{1/2}$ .



- Vimos que os dois níveis com mesmo  $J$  têm a mesma energia ( $2s_{1/2}$  e  $2p_{1/2}$ ). Isso vem da solução da equação de Dirac:

$$E_{n,J} = m_e c^2 \left[ 1 + \alpha^2 \left( n - J - \frac{1}{2} + \sqrt{(J + 1/2)^2 - \alpha^2} \right)^{-2} \right]^{-\frac{1}{2}}$$

Note que a energia só depende de  $n$  e  $J$ .

# Estrutura fina do nível n=2 do Átomo de Hidrogênio.

- A expansão da solução da equação de Dirac em  $\alpha$

$$E_{n,J} = m_e c^2 \left[ 1 + \alpha^2 \left( n - J - \frac{1}{2} + \sqrt{(J + 1/2)^2 - \alpha^2} \right)^{-2} \right]^{-\frac{1}{2}}$$

$$\approx m_e c^2 - \underbrace{\frac{1}{2} m_e c^2 \alpha^2 \frac{1}{n^2}}_{\text{vem de } H_0} - \underbrace{\frac{m_e c^2}{2n^4} \left( \frac{n}{J + 1/2} - \frac{3}{4} \right) \alpha^4}_{\text{vem de } W_f}$$

$$\begin{aligned} &\text{vem de } H_0 \\ &\text{vem de } W_f \begin{cases} n=2, J=1/2 \rightarrow -\frac{5}{128} m_e c^2 \alpha^4 \\ n=2, J=3/2 \rightarrow -\frac{1}{128} m_e c^2 \alpha^4 \end{cases} \end{aligned}$$

- Note que o cálculo do nível  $2s_{1/2}$  é idêntico ao  $2p_{1/2}$ , pois a energia não depende de  $\ell$ .
- Lamb Shift:* a degenerescência entre  $2s_{1/2}$  e  $2p_{1/2}$  é quebrada devido às flutuações do campo eletromagnético no vácuo (natureza quântica do campo eletromagnético). Isso dá início a chamada eletrodinâmica quântica (ver detalhes no complemento  $K_V$ ).

♣ Aula que vem,  $W_{hf}$  :

